

01;05

Коллинеарное рассеяние света на дипольно-обменных спиновых волнах в неоднородных ферромагнитных пленках

© Л.В. Луцев

Научно-исследовательский институт "Домен",
196084 Санкт-Петербург, Россия

(Поступило в Редакцию 19 июня 1995 г. В окончательной редакции 9 февраля 1998 г.)

Развита теория коллинеарного $TE-TM$ -рассеяния волноводных оптических мод на дипольно-обменных спиновых волнах в перпендикулярно намагниченных неоднородных по толщине ферромагнитных пленках. Найдено, что в однородных ферромагнитных пленках и в пленках с малым отклонением от однородности $TE-TM$ -рассеяние на высших спин-волновых модах является максимальным при выполнении условий синхронизма для поперечных фаз, продольных и поперечных волновых векторов. При несовпадении толщины оптического планарного волновода с толщиной ферромагнитной пленки нарушается условие фазового синхронизма, что приводит к осциллирующему характеру зависимости $TE-TM$ -рассеяния от номера спин-волновой моды. Исследовано рассеяние света на спин-волновых модах в пленках с градиентом намагниченности при наличии точек поворота магнитостатического потенциала. Найдено, что существование точки поворота в области пучности оптических мод приводит к увеличению амплитуды рассеяния. Обсуждается реализация неоднородных магнитооптических структур и сверхрешеток на основе $(Lu, Y, Bi)_3(Fe, Ga)_5O_{12}$.

Введение

В последнее время интенсивно исследуется взаимодействие света со спиновыми волнами в пленках ферритов-гранатов. Это взаимодействие может использоваться как в практических, так и в исследовательских целях: для оптических модуляторов на сверхвысоких частотах и для изучения спин-волновых процессов, происходящих в тонких феррогранатовых пленках. Результаты исследования неколлинеарного взаимодействия оптических волноводных мод со спиновыми волнами и процесса преобразования $TE-TM$ -мод приведены в [1,2]. Особенности преобразования $TE \leftrightarrow TM$ оптических мод при коллинеарном рассеянии изучались в [3–7] как теоретически, так и экспериментально. В [8] проведен теоретический анализ дифракции оптических мод на поверхностных и объемных спиновых волнах при произвольном угле падения оптической моды. Цель данной работы состоит в учете обменного взаимодействия при рассеянии оптических волноводных мод на спиновых волнах в неоднородных ферромагнитных пленках. Учет обменного взаимодействия является необходимым в случае, если в неоднородной ферромагнитной пленке существует слой с точкой поворота магнитостатического потенциала спиновой волны. Величина переменного магнитного момента в этом слое больше, чем в других слоях, что в свою очередь приводит к увеличению рассеяния оптических волноводных мод.

Работа состоит из трех частей. В первых двух частях описаны свойства дипольно-обменных спиновых волн и приведены дисперсионные соотношения и собственные функции оптических волноводных мод. В третьей части получены уравнения связи оптических мод и проанализированы условия для достижения максимального $TE-TM$ -рассеяния для различных пленочных структур с

однородными и неоднородными ферромагнитными слоями. Обсуждается реализация неоднородных магнитооптических структур на основе $(Lu, Y, Bi)_3(Fe, Ga)_5O_{12}$.

1. Дипольно-обменные спиновые волны

Рассмотрим перпендикулярно намагниченную ферромагнитную планарную структуру толщиной d с неоднородными по толщине магнитными и диэлектрическими параметрами (рис. 1). Ось Oz перпендикулярна, а оси Ox , Oy параллельны поверхности пленки. Допустим, что спин-волновые и оптические моды распространяются вдоль оси Ox . Спиновые волны в магнитостатическом

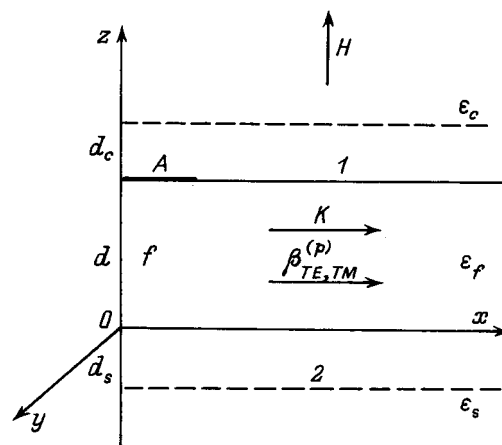


Рис. 1. Геометрия планарной структуры при коллинеарном рассеянии света на спиновых волнах. f — ферромагнитный слой; 1, 2 — покровный и переходной неферромагнитные слои с толщинами d_c , d_s ; A — антенна, возбуждающая спиновую волну.

приближении описываются магнитостатическим потенциалом $\varphi(x, z, t)$, который находится из уравнений [9]

$$\frac{\partial \mathbf{M}}{\partial t} = -\gamma \left[\mathbf{M} \cdot \frac{\delta \mathcal{H}}{\delta \mathbf{M}} \right],$$

$$\operatorname{div}(\mathbf{h} + 4\pi \mathbf{m}) = 0, \quad (1)$$

где

$$\mathcal{H} = \int \left[-\mathbf{M}(\mathbf{H} + \mathbf{h}) + 2\pi(\mathbf{M}, \mathbf{n})^2 - \frac{1}{2}\beta_a(\mathbf{M}, \mathbf{n})^2 - \frac{1}{2}\alpha \frac{\partial \mathbf{M}}{\partial r_i} \frac{\partial \mathbf{M}}{\partial r_i} \right] dV \quad (2)$$

— эффективный классический дипольно-обменный гамильтониан; $\mathbf{M} = \mathbf{M}_0 + \mathbf{m}(x, z, t)$ — плотность магнитного момента (\mathbf{M}_0 не зависит от x и t ; $|\mathbf{m}(x, z, t)| \ll M_0$); γ — гиромагнитное отношение; $\mathbf{H} \parallel 0z$ — внешнее постоянное магнитное поле; $\mathbf{h}(x, z, t) = -\nabla\varphi(x, z, t)$ и $\varphi(x, z, t)$ — переменное магнитное поле и магнитостатический потенциал спиновой волны; α — постоянная обменного взаимодействия; β_a определяет поле одноосной анизотропии $\mathbf{H}_a = \beta_a(\mathbf{M}, \mathbf{n})\mathbf{n}$ с осью \mathbf{n} , перпендикулярной поверхности пленки; член $2\pi(\mathbf{M}, \mathbf{n})^2$ в (2) описывает энергию размагничивающего магнитного поля пленки; $\partial/\partial r_i$ — сокращенная запись производных $\partial/\partial x$, $\partial/\partial y$, $\partial/\partial z$.

Система уравнений (1) исследовалась в [10] в линейном по $\mathbf{m}(x, z, t)$ приближении для случая неоднородных по толщине пленок с магнитными параметрами $\gamma(z)$, $\alpha(z)$, $M_0(z)$, $H_a(z)$. Для вычисления TE – TM -рассеяния на спиновой волне необходимо найти распределение \mathbf{m} по толщине ферромагнитной структуры. Будут рассмотрены однородные и слабо неоднородные по толщине ферромагнитные пленки и ферромагнитные пленки с градиентом намагниченности по толщине. В последнем случае предполагается, что магнитостатический потенциал φ спиновой волны имеет точку поворота внутри пленки.

а) Однородные и слабо неоднородные по толщине ферромагнитные пленки. Допустим, что частота спиновой волны ω далека от частот ферромагнитного резонанса любого слоя ферромагнитной пленки. В этом случае потенциал φ не имеет точек поворота внутри пленки и тензор магнитной восприимчивости $\chi_{ik}(\omega)$ не имеет точек сингулярности. Под слабо неоднородными по толщине ферромагнитными структурами будут пониматься структуры с малыми отклонениями $\Delta\chi_{ik}$ от средних значений $\bar{\chi}_{ik}$ [10]. Малость $\Delta\chi_{ik}/\bar{\chi}_{ik}$ обуславливает возможность применения теории возмущений, где первыми приближениями при вычислении дисперсионных зависимостей и магнитостатического потенциала являются дисперсионные зависимости и потенциал φ однородной пленки со средними параметрами $\bar{\chi}_{ik}$, $\bar{\gamma}$, $\bar{\alpha}$, \bar{M}_0 , \bar{H}_a . Параметром разложения являются $\Delta\chi_{ik}/\bar{\chi}_{ik}$, который в свою очередь определяется относительными отклонениями $\Delta\gamma/\bar{\gamma}$, $\Delta\alpha/\bar{\alpha}$, $\Delta M_0/\bar{M}_0$, $\Delta H_a/\bar{H}_a$.

Спин-волновые собственные функции однородной пленки

$$\varphi(x, z, t) = (2\pi)^{-1} \varphi_n(z) \exp(ikx + i\omega_n t), \quad (3)$$

где

$$\varphi_n(z) = P_n \begin{cases} \cos[k_z^{(n)}(z - d/2) + (n-1)\pi/2] & 0 \leq z \leq d, \\ (-1)^{n-1} \frac{k_z^{(n)}}{k_0^{(n)}} \exp[|k|(d-z)] & z > d, \\ \frac{k_z^{(n)}}{k_0^{(n)}} \exp(|k|z) & z < 0, \end{cases} \quad (4)$$

$n = 1, 2, 3, \dots$ — номер моды; P_n — нормировочный параметр; $k_0^{(n)2} = k^2 + k_z^{(n)2}$, k — волновой вектор; $k_z^{(n)}$ определяется соотношением

$$2 \operatorname{ctg} k_z^{(n)} d = \frac{k_z^{(n)}}{|k|} - \frac{|k|}{k_z^{(n)}}. \quad (5)$$

Дисперсионная зависимость для n -моды имеет вид

$$\omega_n^2 = (\Omega + \gamma\alpha M_0 k_0^{(n)2}) \times (\Omega + \gamma\alpha M_0 k_0^{(n)2} + \gamma 4\pi M_0 k^2 / k_0^{(n)2}), \quad (6)$$

где $\Omega = \gamma(H - 4\pi M_0 + H_a)$.

Учитывая значения групповой скорости $v_g^{(1)}$ первой моды и $k_z^{(n)}$ при $|k| \ll \pi/d$ [10], из дисперсионного соотношения (6) следует, что дисперсионные кривые первой и высших мод пересекаются при

$$k_n = \alpha\gamma M_0 k_z^{(n)2} / v_g^{(1)} = \alpha\pi(n-1)^2 / d^3. \quad (7)$$

Второе уравнение (1) дает связь между изменением плотности магнитного момента $m_x(z)$ и магнитостатическим потенциалом $\varphi_n(z)$ моды n

$$m_x(z) = \frac{ik_0^{(n)2}}{4\pi|k|} \varphi_n(z). \quad (8)$$

Для слабо неоднородной ферромагнитной пленки в первом приближении по степени отклонения магнитных параметров от параметров однородной пленочной структуры дисперсионная зависимость спиновой волны определяется выражением

$$\omega_n = \langle n | \Omega(z) + \gamma(z)M_0(z) (\alpha(z)k_0^{(n)2} + 2\pi k^2 / k_0^{(n)2}) | n \rangle, \quad (9)$$

где $\langle n | f(z) | l \rangle \equiv \int_0^d \varphi_n^*(z) f(z) \varphi_l(z) dz$ с нормировочными множителями $P_j = (d/2 + |k|/k_0^{(j)2})^{-1/2}$ ($j = n, l$).

Для определения коэффициента связи TF - и TM -мод при рассеянии на спиновой волне удобно связать нормировку собственных функций $\varphi_n(z)$ (4) с энергией

$U^{(n)}$ спиновой волны на единице площади пленки. Согласно [11], энергия спиновой волны $U^{(n)}$ связана с плотностью числа магнонов N_n

$$U^{(n)} = \int_0^d N_n \hbar \omega_n dz = \int_0^d \frac{\bar{m}_x^2 \omega_n}{2\gamma M_0} dz \quad (10)$$

(черта означает усреднение по времени).

Из (10) с учетом (3), (4), (8) находим нормировочный параметр

$$P_n = \frac{(4\pi)^2 |k|}{k_0^{(n)2}} \sqrt{\frac{2\gamma M_0 U^{(n)}}{\omega_n (d + 2|k|/k_0^{(n)2})}}. \quad (11)$$

б) Ферромагнитные пленки с градиентом намагниченности по толщине. Рассмотрим ферромагнитную пленку с линейным изменением намагниченности $4\pi M_0 = 4\pi \bar{M}_0 - \mu(z - d/2)$ и тот частотный интервал, при котором существует точка поворота потенциала φ_n внутри ферромагнитной пленочной структуры. Согласно [10], распределение $m_{\pm} = m_x \pm im_y$ по толщине описывается выражением

$$m_{\pm}(z) = \frac{i|k|}{w(0)} \left[v_2^{\pm}(z) \int_0^z \frac{\varphi(\xi)}{\alpha(\xi)} v_1^{\pm}(\xi) d\xi + v_1^{\pm}(z) \int_z^d \frac{\varphi(\xi)}{\alpha(\xi)} v_2^{\pm}(\xi) d\xi \right], \quad (12)$$

где $w(0)$ — вронкиан; $v_1^{\pm}(z) = Ai[(\mu/\alpha\bar{M}_0)^{1/3}(z - z_0^{\pm})]$, $v_2^{\pm}(z) = Bi[(\mu/\alpha\bar{M}_0)^{1/3}(z - z_0^{\pm})]$ — функции Эйри, $z_0^{\pm} = [\mp\omega/\gamma - \alpha k^2 \bar{M}_0 - H + 4\pi \bar{M}_0 - H_a(0)]/\mu$.

Подстановка $m_{\pm}(m_x, m_y)$ во второе уравнение (1) дает интегродифференциальное уравнение относительно $\varphi(z)$. Это уравнение решалось численно. Дисперсионная зависимость $\omega(k)$ находилась из требования непрерывности $\varphi(z)$ и $\partial\varphi(z)/\partial z$ на границе ферромагнитной пленки. Вне пленки $\varphi(z) \sim \exp(-|kz|)$.

При $k \rightarrow 0$ возможно применение упрощенной формулы, определяющей ω_n [12,13]:

$$\omega_n = \min \Omega(z) + \gamma [2\pi^2 \mu^2 \alpha \bar{M}_0 (n - 1/2)^2]^{1/3}, \quad (13)$$

где

$$\Omega(z) = \gamma(z) [H - 4\pi M_0(z) + H_a(z)].$$

В этом приближении точка поворота z_r дается соотношением

$$z_r = [2\pi^2 \alpha \bar{M}_0 (n - 1/2)^2 / \mu]^{1/3}. \quad (14)$$

Нормировка собственных функций $\varphi_n(z)$ на единицу плотности энергии $U^{(n)}$ спиновой волны, необходимая для сравнения амплитуды TE – TM -рассеяния в различных ферромагнитных структурах, находилась численно с использованием формул (10), (12).

2. Волноводные оптические моды

Уравнения, описывающие волноводные оптические TE - и TM -моды и эффекты преобразования $TE \leftrightarrow TM$, получаются из уравнений Максвелла [14]. Нами будет рассматриваться случай, когда диагональная компонента диэлектрической проницаемости $\varepsilon_0(z)$ является функцией только от z и намного больше недиагональных компонент. В недиагональных компонентах будут учитываться гиротропные эффекты — зависимость от $\mathbf{m}(x, z, t)$ [15]

$$\varepsilon_0(z) \gg \varepsilon_{lj} = ig e_{ljk} m_k(t) \quad (l \neq j), \quad (15)$$

где $g = F_f \lambda \sqrt{\varepsilon_f} / \pi M_0$; F_f — коэффициент Фарадея; λ — длина волны света в вакууме; ε_f — среднее значение $\varepsilon_0(z)$ в ферромагнитной пленке; e_{ljk} — полностью антисимметричный тензор; $l, j, k = \{x, y, z\}$.

Уравнения для TE - и TM -мод выводятся аналогично уравнениям для TE - и TM -мод в планарной структуре в [14,15] путем преобразования Фурье по t и удержания первых членов приближения по $\varepsilon_{lj}/\varepsilon_0$ ($l \neq j$). TE -мода полностью характеризуется компонентой поля E_y

$$\left(\frac{\partial^2}{\partial z^2} + \frac{\partial^2}{\partial x^2} + \frac{\varepsilon_0(z) \omega_{TE}^2}{c^2} \right) E_y + \frac{i \omega_{TE}^2}{c \varepsilon_0(z) \omega_{TM}} \times \left(\varepsilon_{yx} * \frac{\partial H_y}{\partial z} - \varepsilon_{yz} * \frac{\partial H_y}{\partial x} \right) = 0, \quad (16)$$

а TM -мода — компонентой H_y

$$\varepsilon_0(z) \frac{\partial}{\partial z} \left(\frac{1}{\varepsilon_0(z)} * \frac{\partial H_y}{\partial z} \right) + \frac{\partial^2 H_y}{\partial x^2} + \frac{\varepsilon_0(z) \omega_{TM}^2}{c^2} H_y + \varepsilon_0(z) \left[\frac{\partial}{\partial z} \left(\frac{\varepsilon_{xz}}{\varepsilon_0(z)^2} * \frac{\partial H_y}{\partial x} \right) + \frac{\partial}{\partial x} \left(\frac{\varepsilon_{zx}}{\varepsilon_0(z)^2} * \frac{\partial H_y}{\partial z} \right) \right] + \frac{i \omega_{TM} \varepsilon_0(z)}{c} \left[\frac{\partial}{\partial z} \left(\frac{\varepsilon_{xy}}{\varepsilon_0(z)} * E_y \right) - \frac{\partial}{\partial x} \left(\frac{\varepsilon_{zy}}{\varepsilon_0(z)} * E_y \right) \right] = 0. \quad (17)$$

Знак * в (16), (17) обозначает свертку

$$(u * w)(\omega) = (2\pi)^{-1/2} \int u(\omega - \omega_1) w(\omega_1) d\omega_1.$$

Члены, содержащие свертку, описывают эффекты с изменением частоты при рассеянии. При условии, что ω_{TE}, ω_{TM} много больше частоты ω_n спиновой волны (6), (9), (13) свертка заменяется на произведение. Члены с H_y в (16) и с E_y в (17) приводят к преобразованию мод $TE \leftrightarrow TM$. Четвертое слагаемое с H_y в (17) описывает модуляцию TM -моды спиновой волной и учитываться в дальнейшем не будет. В силу условия (15) члены с H_y в (16) и с E_y в (17) можно рассматривать как возмущение.

Для пленки с постоянными значениями $\varepsilon_0(z)$ (ε_c — в покровном слое, ε_f — в пленке, ε_s — в подложке) собственные функции невозмущенных

уравнений (16), (17) ортогональны друг другу и имеют вид [14]

$$\Psi^{(p)}(x, y) = (2\pi)^{-1/2} \psi^{(p)}(z) \exp(i\beta^{(p)}x),$$

$$\psi^{(p)}(z) = P^{(p)} \begin{cases} (1 + a_c^{(p)2})^{-1/2} \\ \quad \times \exp[-\gamma_c^{(p)}(z - d)] & z > d, \\ \cos(k_f^{(p)}z - \theta_s^{(p)}) & 0 < z < d, \\ (1 + a_s^{(p)2})^{-1/2} \exp(\gamma_s^{(p)}z) & z < 0, \end{cases} \quad (18)$$

где $p=0, 1, 2, \dots$ — номер моды, $k_f^{(p)2} = -\beta^{(p)2} + \varepsilon_f \omega^2 / c^2$, $\gamma_{s,c}^{(p)2} = \beta^{(p)2} - \varepsilon_{s,c} \omega^2 / c^2$, $\theta_{s,c}^{(p)} = \arctg a_{s,c}^{(p)}$.

Для TE -моды

$$a_{s,c}^{(p)} = \gamma_{s,c}^{(p)} / k_f^{(p)}, \quad P^{(p)} = \left(\frac{2}{d + \gamma_c^{(p)-1} + \gamma_s^{(p)-1}} \right)^{1/2}.$$

Для TM -моды

$$a_{s,c}^{(p)} = \frac{\gamma_{s,c}^{(p)} \varepsilon_f}{k_f^{(p)} \varepsilon_{s,c}},$$

$$P^{(p)} = \sqrt{2} \left[d + \frac{k_f^{(p)} + \gamma_s^{(p)} a_s^{(p)}}{k_f^{(p)} \gamma_s^{(p)} (1 + a_s^{(p)2})} + \frac{k_f^{(p)} + \gamma_c^{(p)} a_c^{(p)}}{k_f^{(p)} \gamma_c^{(p)} (1 + a_c^{(p)2})} \right]^{-1/2}.$$

Обозначения f, s, c указывают соответственно на принадлежность к пленке, подложке и покровному слою. Дисперсионные соотношения в фазовых переменных $\theta_{s,c}^{(p)}$ принимают простой вид [14]

$$k_f^{(p)}d - \theta_s^{(p)} - \theta_c^{(p)} = \pi p \quad (p = 0, 1, 2, \dots). \quad (19)$$

Функции (18) вместе с излучательными модами образуют полную ортонормированную систему. Они будут использоваться при вычислении коэффициента связи TE - и TM -мод и условий синхронизма в неоднородной пленке в первом приближении теории возмущений.

3. TE — TM -рассеяние оптических мод на спиновых волнах

Изменение плотности магнитного момента $\mathbf{m}(x, z, t) = \{m_x, m_y, 0\}$ спиновой волны приводит к взаимному преобразованию TE - и TM -мод. Представим электромагнитное поле в планарном волноводе в виде суперпозиции двух близких TE - и TM -мод

$$\Psi_B^{(p)}(x, z) = F(x) \Psi_{TE}^{(p)}(x, z) + G(x) \Psi_{TM}^{(p)}(x, z), \quad (20)$$

где $\Psi_{TE}^{(p)}$, $\Psi_{TM}^{(p)}$ — функции (18).

Учтем, что а) производные амплитуд $\partial F(x)/\partial x$ и $\partial G(x)/\partial x$ являются членами первого порядка малости $\beta_{TE}^{(p)-1} F^{-1} \partial F / \partial x \ll 1$, $\beta_{TM}^{(p)-1} G^{-1} \partial G / \partial x \ll 1$; б) при условии $\omega_{TE}, \omega_{TM} \gg \omega_n$ свертка в (16), (17) заменяется на произведение; в) зависимость ε_{lj} ($l \neq j$) от \mathbf{m} имеет вид (15) и пропорциональна $\exp(ikx + i\omega t)$. При этих приближениях получаем уравнения связи

$$\frac{\partial F(x)}{\partial x} = \frac{i\omega_{TE}^2 \beta_{TM}^{(p)} \langle E_y^{(p)} | \varepsilon_{yz} | H_y^{(p)} \rangle}{2c\varepsilon_f \omega_{TM} \beta_{TE}^{(p)}} \exp(-i\Delta x) G(x),$$

$$\frac{\partial G(x)}{\partial x} = \frac{i\omega_{TM} (\beta_{TE}^{(p)} - k) \langle H_y^{(p)} | \varepsilon_{zy} | E_y^{(p)} \rangle}{2c\beta_{TM}^{(p)}} \times \exp(i\Delta x) F(x), \quad (21)$$

где

$$\langle E_y^{(p)} | \varepsilon_{yz} | H_y^{(p)} \rangle = \langle H_y^{(p)} | \varepsilon_{zy} | E_y^{(p)*} \rangle = \int_0^d \psi_{TE}^{(p)*}(z) \varepsilon_{yz}(z) \psi_{TM}^{(p)}(z) dz,$$

$$\Delta = \beta_{TE}^{(p)} - \beta_{TM}^{(p)} - k, \quad \varepsilon_{yz} = igm_x.$$

При выполнении условия синхронизма $\Delta = 0$ коэффициент связи TE - и TM -мод максимален и определяется выражением:

$$\nu^{(p)2} = \frac{\omega_{TE}^2 (\beta_{TE}^{(p)} - k) |\langle E_y^{(p)} | \varepsilon_{yz} | H_y^{(p)} \rangle|^2}{4c^2 \varepsilon_f \beta_{TE}^{(p)}}. \quad (22)$$

Коэффициент связи $\nu^{(p)}$ определяет период пространственных осцилляций вдоль оси $0x$ при преобразовании $TE \leftrightarrow TM$

$$L^{(p)} = \frac{2\pi}{\nu^{(p)}}. \quad (23)$$

Рассмотрим частные случаи TE — TM -рассеяния на спиновых волнах в однородных и слабо неоднородных по толщине ферромагнитных пленках и в пленках с градиентом намагниченности.

а) Однородные и слабо неоднородные по толщине ферромагнитные пленки. Подставляя собственные функции (4), (18) с учетом (8), (11), (15) в (22), получаем коэффициент связи TE - и TM -мод при рассеянии на n -й спин-волновой моде

$$\nu_n^{(p)} = P_{TE}^{(p)} P_{TM}^{(p)} F_f \left[\frac{(\beta_{TE}^{(p)} - k) \gamma U^{(n)}}{2\beta_{TE}^{(p)} \omega_n (d + 2|k|/k_0^{(n)2}) M_0} \right]^{1/2} \times \left| \sum_{j,l=1}^2 \frac{\sin(K_{jl}^{(n,p)} d - \Xi_{j,l}^{(n,p)}) + \sin \Xi_{j,l}^{(n,p)}}{K_{jl}^{(n,p)}} \right|, \quad (24)$$

где $K_{jl}^{(n,p)} = k_z^{(n)} + \eta^{(j)} k_{f,TE}^{(p)} + \eta^{(l)} k_{f,TM}^{(p)}$,

$$\Xi_{jl}^{(n,p)} = (k_z^{(n)} d - \pi(n-1))/2 + \eta^{(j)} \theta_{s,TE}^{(p)} + \eta^{(l)} \theta_{s,TM}^{(p)},$$

$$\eta^{(1)} = 1, \quad \eta^{(2)} = -1.$$

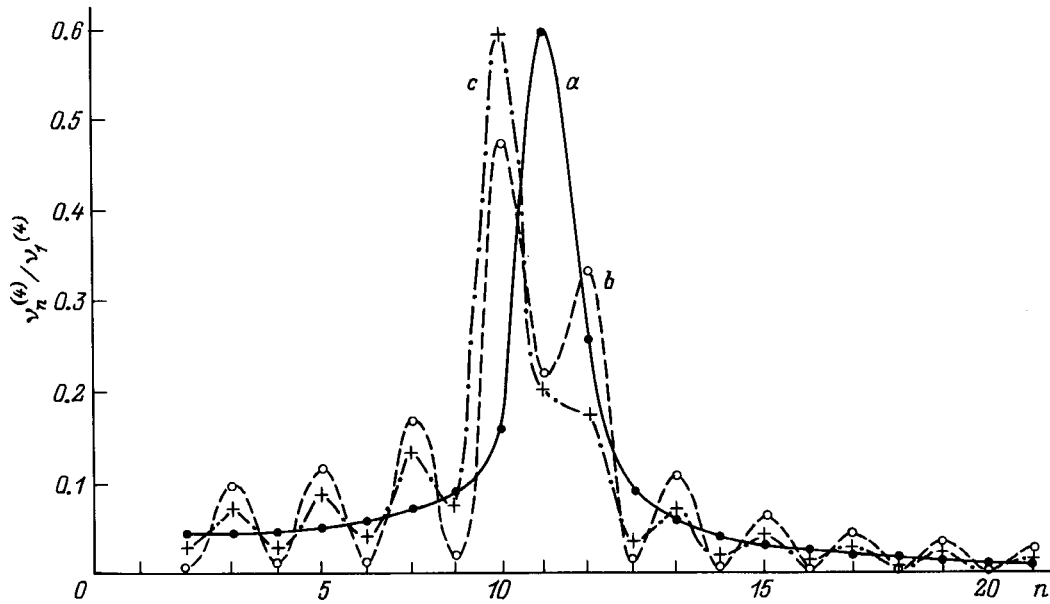


Рис. 2. Отношение коэффициентов связи $\nu_n^{(4)}/\nu_1^{(4)}$ при рассеянии $TE_4 \rightarrow TM_4$ в однородном ферромагнитном слое (структура YIG/GGG) в зависимости от номера спин-волновой моды при $k = k_n$ (формула (7)). d_c , мкм: $a - 0$, $b - 0.5$, $c - 1.0$.

Анализ полученного соотношения (24) показывает, что рассеяние будет максимальным при выполнении условий

$$K_{je}^{(n,p)} = 0 \quad (j, l = 1, 2), \quad (25)$$

$$\Xi_{jl}^{(n,p)} = 2\pi r \quad (j, l = 1, 2, \quad r = 0, \pm 1, \pm 2, \dots), \quad (26)$$

которые можно назвать условиями синхронизма поперечных волновых векторов и фазового синхронизма. Физический смысл данных условий можно объяснить следующим образом. Рассмотрим два соседних слоя с пучностями спин-волновой моды. Так как \mathbf{m} в этих слоях противоположны, то поворот плоскости поляризации света будет определяться разностью эффектов Фарадея в этих слоях. Максимальный суммарный поворот плоскости поляризации будет в том случае, если на один из слоев будет приходиться пучность оптической моды, а на другой — узел, что и отражается в условиях (25), (26).

В качестве иллюстрации важности выполнения соотношений (25), (26) для получения максимального преобразования $TE \rightarrow TM$ были проведены численные расчеты для структуры YIG/GGG при $k = k_n$. Обеспечение условия $\Delta = \beta_{TE}^{(p)} - \beta_{TM}^{(p)} - k = 0$, которое может быть названо условием синхронизма продольных волновых векторов, достигалось введением слоя 2 (рис. 1) с линейным изменением диэлектрической проницаемости $\varepsilon(z) = \varepsilon_f + (\varepsilon_f - \varepsilon_s)z/d_s$ ($z \in [0, -d_s]$) внутри слоя (другие способы достижения условия $\Delta = 0$ описаны в [16]). Собственные функции оптических мод такой пленочной структуры находились из (16), (17) с помощью теории возмущений в виде ряда по степени отклонения от однородной пленки. В первом приближении собственные

функции имеют вид (18) с измененными значениями $\beta^{(p)}$

$$TE: \beta^{(p)2} = \beta_0^{(p)2} + (2\pi/\lambda)^2 \langle E_y^{(p)} | (\varepsilon(z) - \varepsilon_0) | E_y^{(p)} \rangle$$

$$TM: \beta^{(p)2} = \beta_0^{(p)2} + (2\pi/\lambda)^2 \langle H_y^{(p)} | (\varepsilon(z) - \varepsilon_0) | H_y^{(p)} \rangle$$

$$- \left\langle H_y^{(p)} \left| \frac{\partial \varepsilon(z)}{\partial z} \frac{\partial}{\partial z} \right| H_y^{(p)} \right\rangle. \quad (27)$$

На рис. 2 приведены отношения коэффициентов связи $\nu_n^{(4)}/\nu_1^{(4)}$ при рассеянии $TE_4 \rightarrow TM_4$ в зависимости от номера n спин-волновой моды при различных толщинах покровного слоя d_c . Были использованы средние значения для YIG $4\pi M_0 = 1750 \text{ Э}$, $H_a = 0$, $\alpha = 4\pi \cdot 3.2 \cdot 10^{-12} \text{ см}^2$, $\gamma = 2\pi \cdot 2.83 \text{ МГц/Э}$ при $d = 10 \text{ мкм}$, $\omega_n/2\pi = 9 \text{ ГГц}$, $\lambda = 1.15 \text{ мкм}$, $n_c = \sqrt{\varepsilon_c} = 1.0$, $n_f = \sqrt{\varepsilon_f} = 2.220$, $n_s = \sqrt{\varepsilon_s} = 1.945$. Переходной слой 2 (рис. 1), использовавшийся для выполнения условия $\Delta = 0$, имел толщину $d_s \cong 0.6 \text{ мкм}$. Наличие этого слоя приводило к тому, что значения $\nu_n^{(4)}$, $K_{jl}^{(n,4)}$, $\Xi_{jl}^{(n,4)}$ пересчитывались с измененными величинами $\beta^{(4)}$ согласно формулам (18), (24), (27). Покровный слой 1 имел диэлектрическую проницаемость, одинаковую с диэлектрической проницаемостью пленки YIG ($\sqrt{\varepsilon_f} = 2.220$), и был немагнитным. Таким образом, толщина волновода спиновых волн не совпадала с толщиной оптического волновода. Это привело к добавкам $k_f^{(p)} d_c$ в величины $\Xi_{jl}^{(n,p)}$, нарушению условий фазового синхронизма (26) и соответственно к осциллирующему характеру зависимости $TE-TM$ -рассеяния от номера спин-волновой моды. Условие синхронизма (25) $k_z^{(n)} - k_{f,TE}^{(4)} - k_{f,TM}^{(4)} = 0$ выполнялось при $n = 9-10$.

Формула коэффициента связи $\nu_n^{(p)}$ (24) получена для однородного ферромагнитного слоя. Применение

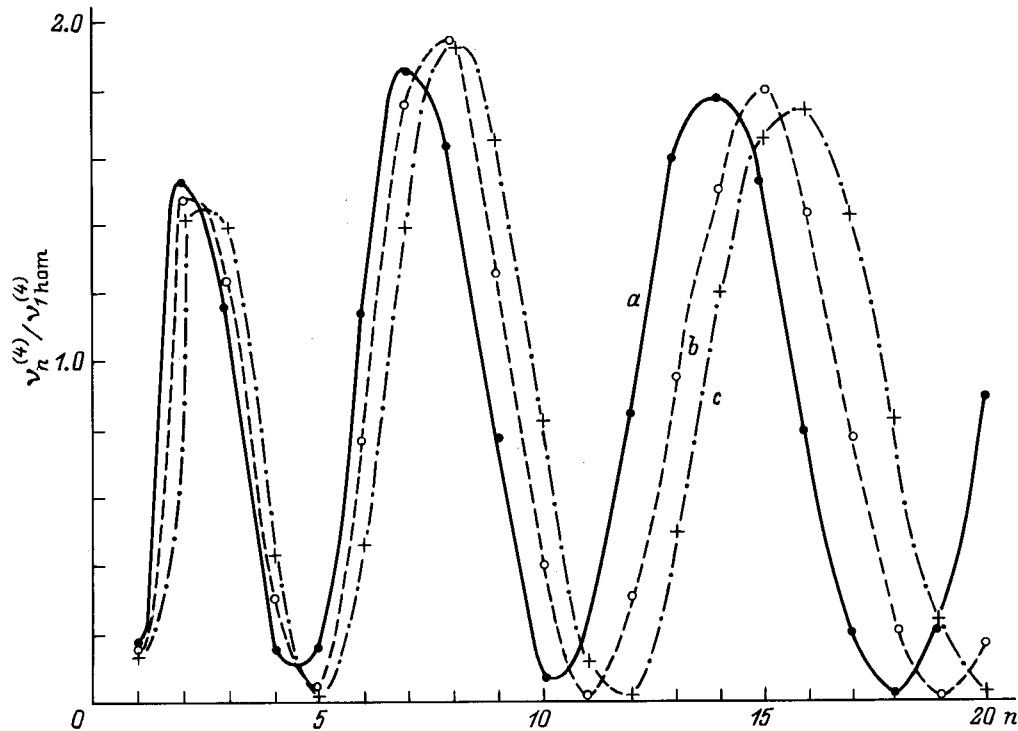


Рис. 3. Отношение коэффициентов связи $\nu_n^{(4)}/\nu_{\text{hom}}^{(4)}$ при рассеянии $TE_4 \rightarrow TM_4$ в неоднородном ферромагнитном слое в зависимости от номера спин-волновой моды при $k \rightarrow 0$. Значения d_c те же, что и на рис. 2.

этой формулы для слабо неоднородных ферромагнитных структур при отсутствии точек поворота магнитостатического потенциала допустимо в первом приближении теории возмущений. Параметром разложения при этом является $\Delta\chi_{ik}/\bar{\chi}_{ik}$, который в свою очередь определяется относительными отклонениями $\Delta\gamma/\bar{\gamma}$, $\Delta\alpha/\bar{\alpha}$, $\Delta M_0/\bar{M}_0$, $\Delta H_a/\bar{H}_a$.

б) Ферромагнитные пленки с градиентом намагниченности по толщине. Коэффициент связи TE - и TM -мод при рассеянии на n -й спин-волновой моде в пленке с градиентом намагниченности $4\pi M_0 = 4\pi\bar{M}_0 - \mu(z - d/2)$ находился из (22) после подстановки собственных функций (18) с учетом распределения m_{\pm} (формулы (12), (15)). Численный расчет был выполнен для структуры YIG/GGG . Внешнее магнитное поле (при $\omega_n/2\pi = 9$ ГГц) подбиралось таким образом, чтобы существовала точка поворота магнитостатического потенциала внутри ферромагнитной пленки. На рис. 3 приведены отношения коэффициентов связи $\nu_n^{(4)}$ при рассеянии $TE_4 \rightarrow TM_4$ в пленке с градиентом к коэффициенту связи $\nu_{\text{hom}}^{(4)}$ при рассеянии $TE_4 \rightarrow TM_4$ в однородной ферромагнитной пленке в зависимости от номера n спин-волновой моды при $k \rightarrow 0$. Были использованы значения $4\pi\bar{M}_0 = 1750$ Э, $\mu = 10$ Э/мкм. Все остальные величины были те же, что и для однородной ферромагнитной структуры. Выполнение условия $\Delta = 0$ осуществлялось так же, как в случае однородной ферромагнитной пленки введением

промежуточного слоя 2 (рис. 1). Анализ распределения m_{\pm} (12) показывает, что m_{\pm} имеет наибольшую амплитуду в окрестности точки поворота z_n (14). Если пучности оптических TE - и TM -мод приходится на слой с точкой поворота z_r , то TE - TM -рассеяние будет максимальным. На рис. 3 это наблюдается для спин-волновых мод с $n = 2, 7-8, 14-16$. Изменение толщины покровного слоя d_c приводит к смещению пучностей относительно z_r . Из сравнения зависимостей рис. 2 и 3 видно, что в случае, когда имеется точка поворота магнитостатического потенциала $\varphi(z)$, амплитуда TE - TM -рассеяния в неоднородных ферромагнитных пленках может принимать большее значение, чем в однородных. Исходя из этого можно сделать вывод, что наиболее перспективными магнитооптическими материалами будут те, в которых TE - TM -рассеяние возможно на периодическом распределении нескольких слоев с точками поворота $\varphi(z)$. Это могут быть магнитные сверхрешетки — пленочные структуры с пространственно-периодическим отклонением магнитных параметров по толщине от постоянных значений, с $d \gg \sqrt{L}$ и достаточно большим количеством периодов. В [10] было отмечено, что сверхрешеточные структуры могут быть получены на основе многокомпонентных феррогранатов. Были предложены феррогранаты с ионами (Lu^{3+}, Y^{3+}) , $(Lu^{3+}, Y^{3+}, Bi^{3+})$ или $(Lu^{3+}, Y^{3+}, La^{3+})$ в додекаэдрических позициях. Периодические изменения условий роста в процессе эпитаксиального выращивания приводит к вариациям вхождения этих ионов в додекаэдрические позиции и к вариациям

вхождения Pb^{2+} , Pb^{4+} . Это в свою очередь приводит к изменениям одноосной ростовой анизотропии [12]. Более детальные исследования были выполнены для феррограната $(Lu, Y, Bi)_3(Fe, Ga)_5O_{12}$ [17]. Пробные эпитаксиальные выращивания пленок показали, что при изменении технологических факторов (температура роста, вращение подложки и другие) возможно получение этих феррогранатовых структур в процессе единого технологического цикла.

Выводы

В результате проведенного теоретического анализа можно сделать следующие выводы.

а) В однородных ферромагнитных пленках и в пленках с незначительными отклонениями от однородности $TE-TM$ -рассеяние на высших спин-волновых модах является максимальным при выполнении условий синхронизма для поперечных фаз, продольных и поперечных волновых векторов. При несовпадении толщин оптического планарного волновода и ферромагнитной пленки нарушается условие фазового синхронизма, что приводит к осциллирующему характеру зависимости $TE-TM$ -рассеяния от номера спин-волновой моды.

б) Слой с точкой поворота магнитостатического потенциала в пленках с градиентом намагниченности по толщине вносит наибольший вклад в $TE-TM$ -рассеяние. Совпадение этого слоя, положение которого зависит от номера спин-волновой моды, с областью пучности оптических мод увеличивает амплитуду $TE-TM$ -рассеяния по сравнению с рассеянием в однородных пленках.

Список литературы

- [1] Young D., Tsai C.S. // Appl. Phys. Lett. 1988. Vol. 53. N 18. P. 1696–1698.
- [2] Tsai C.S., Young D. // Appl. Phys. Lett. 1989. Vol. 54. N 3. P. 196–198.
- [3] Fisher A.D., Lee J.N., Gaynor E.S., Tveten A.B. // Appl. Phys. Lett. 1982. Vol. 41. N 9. P. 779–781.
- [4] Гуляев Ю.В., Игнатьев И.А., Плеханов В.Г., Попков А.Ф. // РиЭ. 1985. Т. 30. № 8. С. 1522–1530.
- [5] Руткин О.Г., Ковшиков Н.Г., Сташкевич А.А. и др. // Письма в ЖТФ. 1985. Т. 11. Вып. 15. С. 933–936.
- [6] Bilaniuk N., Stancil D.D. // J. Appl. Phys. 1990. Vol. 67. N 1. P. 508–510.
- [7] Matyushev V.V., Stashkevich A.A. // J. Appl. Phys. 1991. Vol. 69. N 8. P. 5972–5974.
- [8] Соломко А.А., Гайдай Ю.А., Довженко А.В. и др. // Опт. и спектр. 1989. Т. 66. Вып. 1. С. 190–194.
- [9] Ахизер А.И., Барьяхтар В.Г., Пелетминский С.В. // Спиновые волны. М.: Наука, 1967. 368 с.
- [10] Луцев Л.В. // ЖТФ. 1995. Т. 65. Вып. 2. С. 41–54.
- [11] Гуревич А.Г., Мелков Г.А. Магнитные колебания и волны. М.: Наука, 1994. 464 с.
- [12] Луцев Л.В., Щербакова В.О., Федорова Г.Я. // ФТТ. 1993. Т. 35. Вып. 8. С. 2208–2224.

- [13] Луцев Л.В., Березин И.Л., Яковлев Ю.М. // Электронная техника. Сер. Электроника СВЧ. 1989. № 5 (419). С. 5–8.
- [14] Козельник Г. // Волноводная оптоэлектроника / Под ред. Т. Тамира. М.: Мир, 1991. С. 18–131.
- [15] Звездин А.К., Котов В.А. Магнитооптика тонких пленок. М.: Наука, 1988. 192 с.
- [16] Прохоров А.М., Смоленский Г.А., Агеев А.Н. // УФН. 1984. Т. 143. № 1. С. 33–72.
- [17] Луцев Л.В., Иващицова В.Л., Яковлев Ю.М. и др. // Первая объедин. конф. по магнитоэлектронике. М., 1995. С. 105–106.